

「クラスター・シエル競合の最近の進展」



京都大学基礎物理学研究所 板垣 直之

itagaki@yukawa.kyoto-u.ac.jp

2021年12月9日

「核力に基づいた原子核の構造と反応」 京都大学基礎物理学研究所

Content

- イントロダクション
- クラスタ・シェル競合の最近の発展・1
(アイソスピン・ミキシング)
- クラスタ・シェル競合の最近の発展・2
(医療への応用)

Content

- インTRODクシヨN

- クラスタ-・シエル競合の最近の発展・ 1
(アイソスピン・ミキシング)
- クラスタ-・シエル競合の最近の発展・ 2
(医療への応用)

原子核構造

- シェル構造
- クラスタ構造

原子核構造

“The Birth of Venus”
by Sandro Botticelli



- シェル構造
- クラスタ構造

“The Birth of Venus”
by Sandro Botticelli

原子核構造

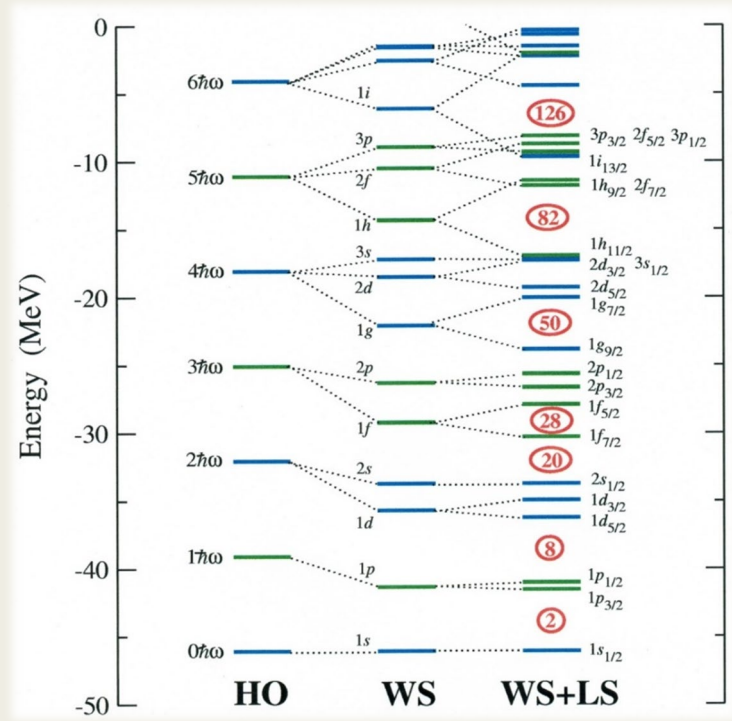


- シェル構造:

それぞれの核子の一粒子運動

good j

- クラスタ構造



原子核構造

- シェル構造:

それぞれの核子の一粒子運動

- クラスタ構造

${}^4\text{He}$ は強く束縛しており (B.E. 28.3 MeV),
原子核中で部分系足りうる

→ ${}^4\text{He}$ 同士の相対の相互作用は比較的弱い

*“Haystacks” by
Claude Monet*



Conventional α cluster model (Brink model)

spatial part of the single particle wave function

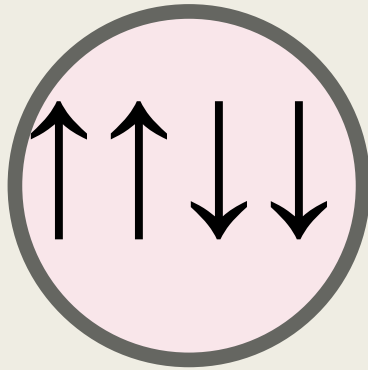
$$\exp[-\nu (r - R)^2]$$

Locally shifted Gaussian form

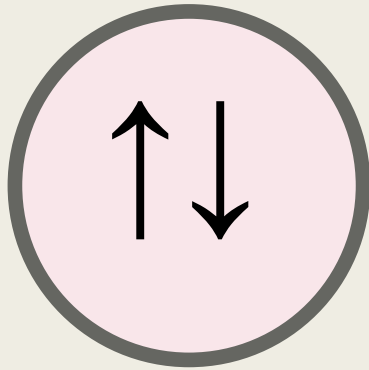
R: Gaussian center parameter

“simple α cluster”: 4 nucleons share same R

“Simple” α cluster



Dineutron クラスタ



2中性子の空間部分の波動関数が同じなので、
スピンは反対称に組む

$$\frac{1}{\sqrt{2}} \{ |\uparrow\downarrow\rangle - |\downarrow\uparrow\rangle \} = |00\rangle \quad S=0$$

非中心力が作用しない

2核子間相互作用

- Central

$$v(r), v(r)(\boldsymbol{\sigma}_1 \cdot \boldsymbol{\sigma}_2), v(r)(\boldsymbol{\tau}_1 \cdot \boldsymbol{\tau}_2), v(r)(\boldsymbol{\sigma}_1 \cdot \boldsymbol{\sigma}_2)(\boldsymbol{\tau}_1 \cdot \boldsymbol{\tau}_2)$$

- 空間部分がRank 1の非中心力

(トータルは回転対称)

$$v(r)(\boldsymbol{\sigma}_1 + \boldsymbol{\sigma}_2) \cdot \mathbf{L}$$

非中心力
S=1が必要

- 空間部分がRank 2の非中心力

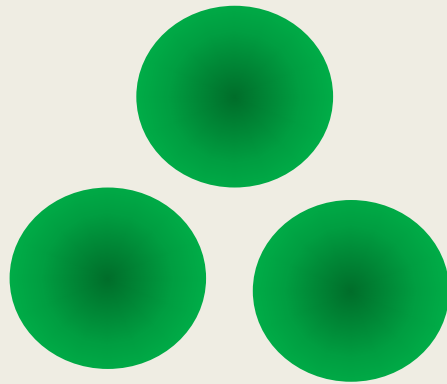
(トータルは回転対称)

$$S_{12} = 3(\boldsymbol{\sigma}_1 \cdot \mathbf{r})(\boldsymbol{\sigma}_2 \cdot \mathbf{r})/r^2 - (\boldsymbol{\sigma}_1 \cdot \boldsymbol{\sigma}_2)$$

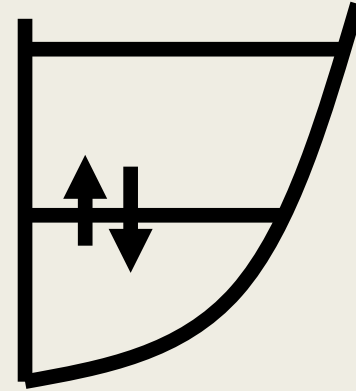
Tensor operator

Cluster side

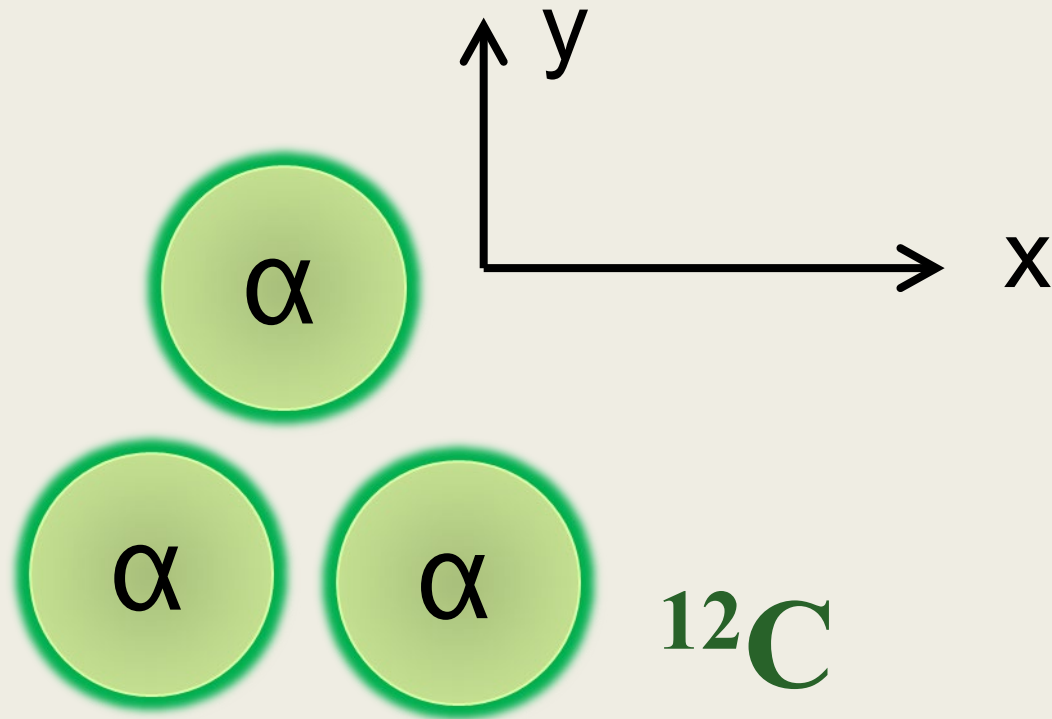
Shell model side



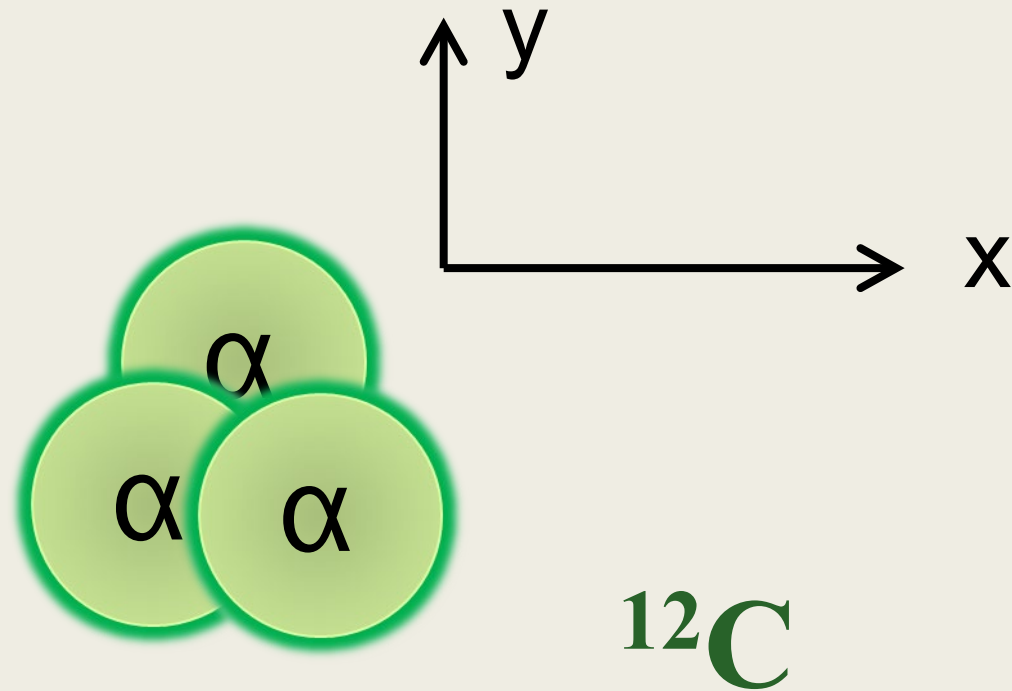
**Our
strategy**

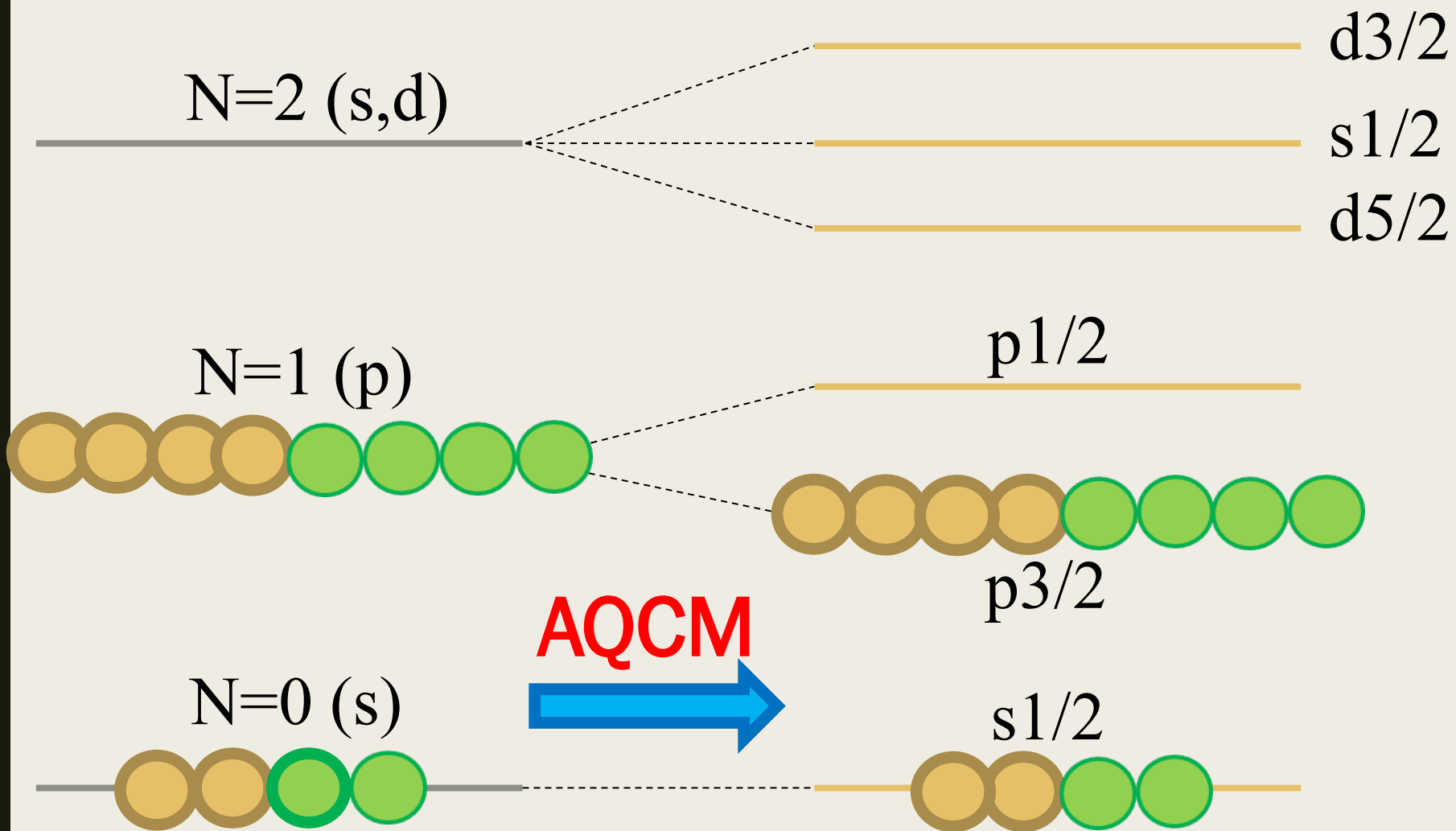


クラスターモデルはシェルモデルを包含する？



クラスターモデルはシェルモデルを包含する？





3次元調和振動子

jj-カップリングシェル模型

Antisymmetrized quasi-cluster model

spatial part of the single particle wave function

$$\exp[-\nu (\mathbf{r} - \mathbf{R})^2]$$

spin-orbit interaction: $\mathbf{l} \cdot \mathbf{s} = (\mathbf{r} \times \mathbf{p}) \cdot \mathbf{s}$

$\langle \mathbf{r} \rangle \rightarrow$ Gaussian center parameter \mathbf{R}

$\langle \mathbf{p} \rangle \rightarrow$ zero, if \mathbf{R} is real

Antisymmetrized quasi-cluster model

spatial part of the single particle wave function

$$\exp[-\nu (\mathbf{r} - \mathbf{R})^2]$$

spin-orbit interaction: $\mathbf{l} \cdot \mathbf{s} = (\mathbf{r} \times \mathbf{p}) \cdot \mathbf{s}$

$\langle \mathbf{r} \rangle \rightarrow$ Gaussian center parameter \mathbf{R}

$\langle \mathbf{p} \rangle \rightarrow$ imaginary part of \mathbf{R}

$$(\mathbf{r} \times \mathbf{p}) \cdot \mathbf{s} = (\mathbf{s} \times \mathbf{r}) \cdot \mathbf{p}$$

$$\mathbf{R} \rightarrow \mathbf{R} + i \wedge (\mathbf{e}_{\text{spin}} \times \mathbf{R})$$

α cluster \rightarrow quasi cluster

z axis



y axis



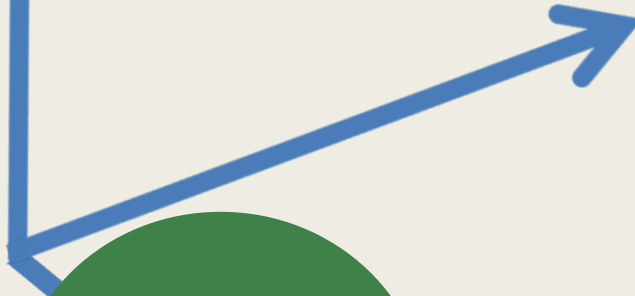
x axis



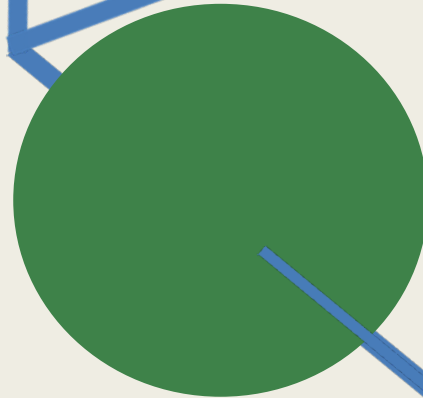
z axis



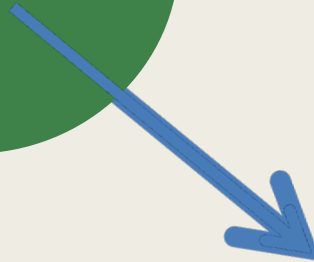
y axis



α cluster



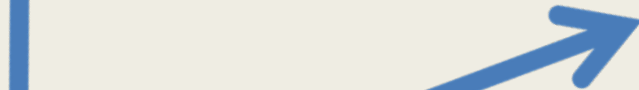
x axis



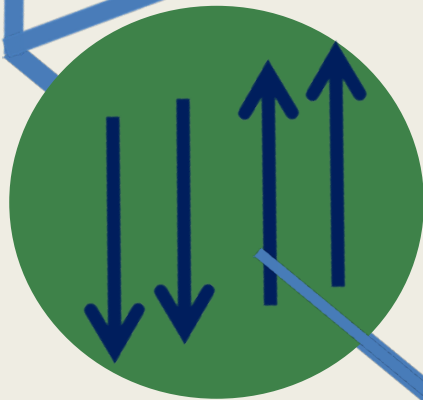
z axis



y axis



α cluster



x axis



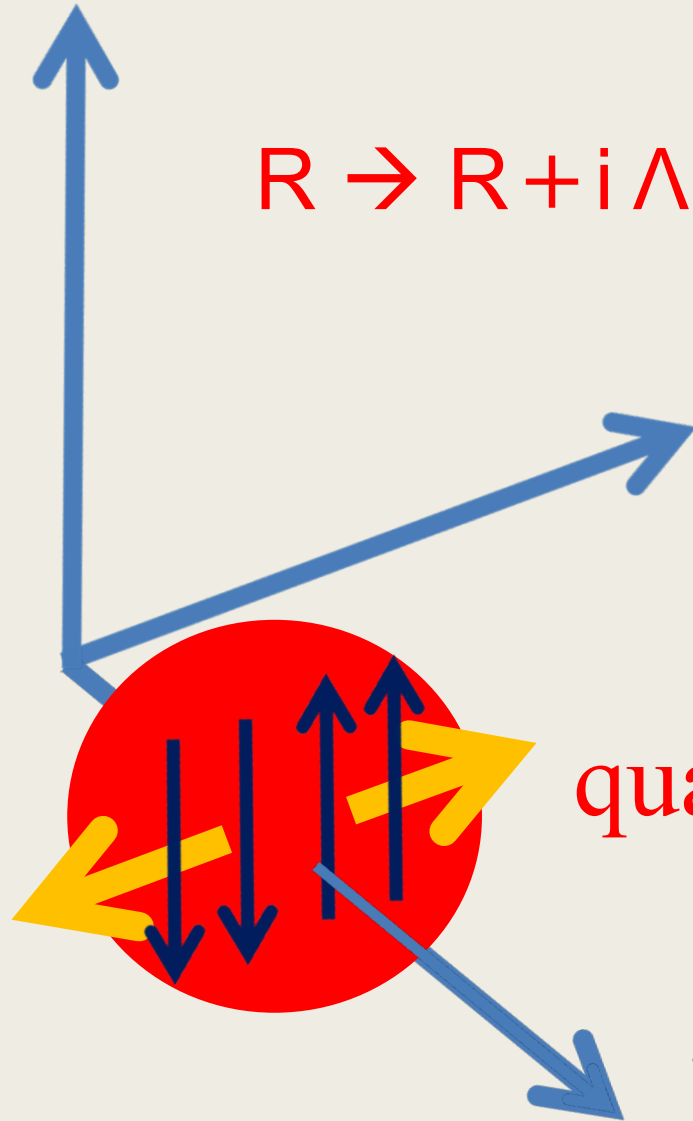
z axis

$$R \rightarrow R + i \Lambda (e_{\text{spin}} \times R)$$

y axis

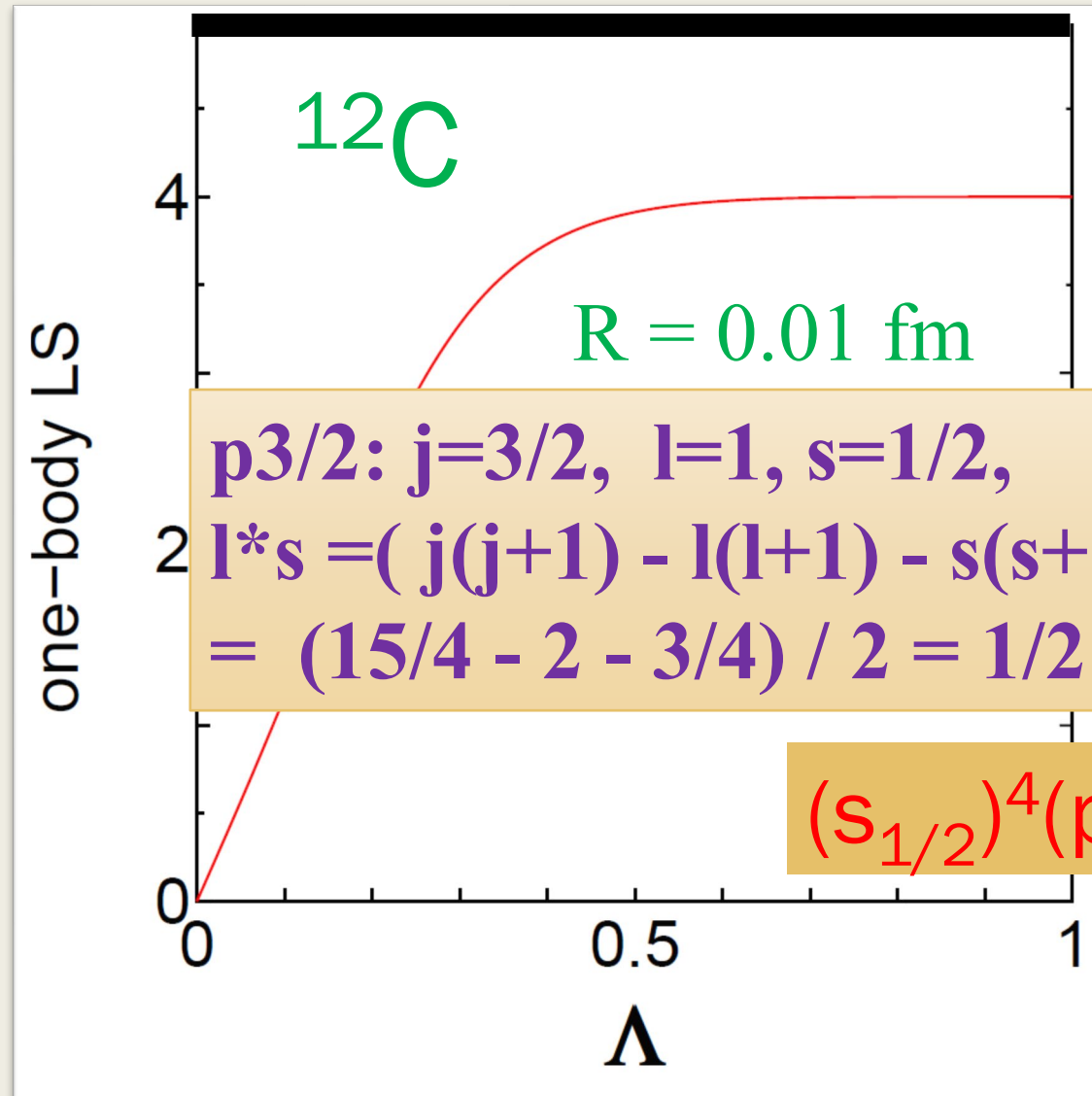
quasi cluster

x axis

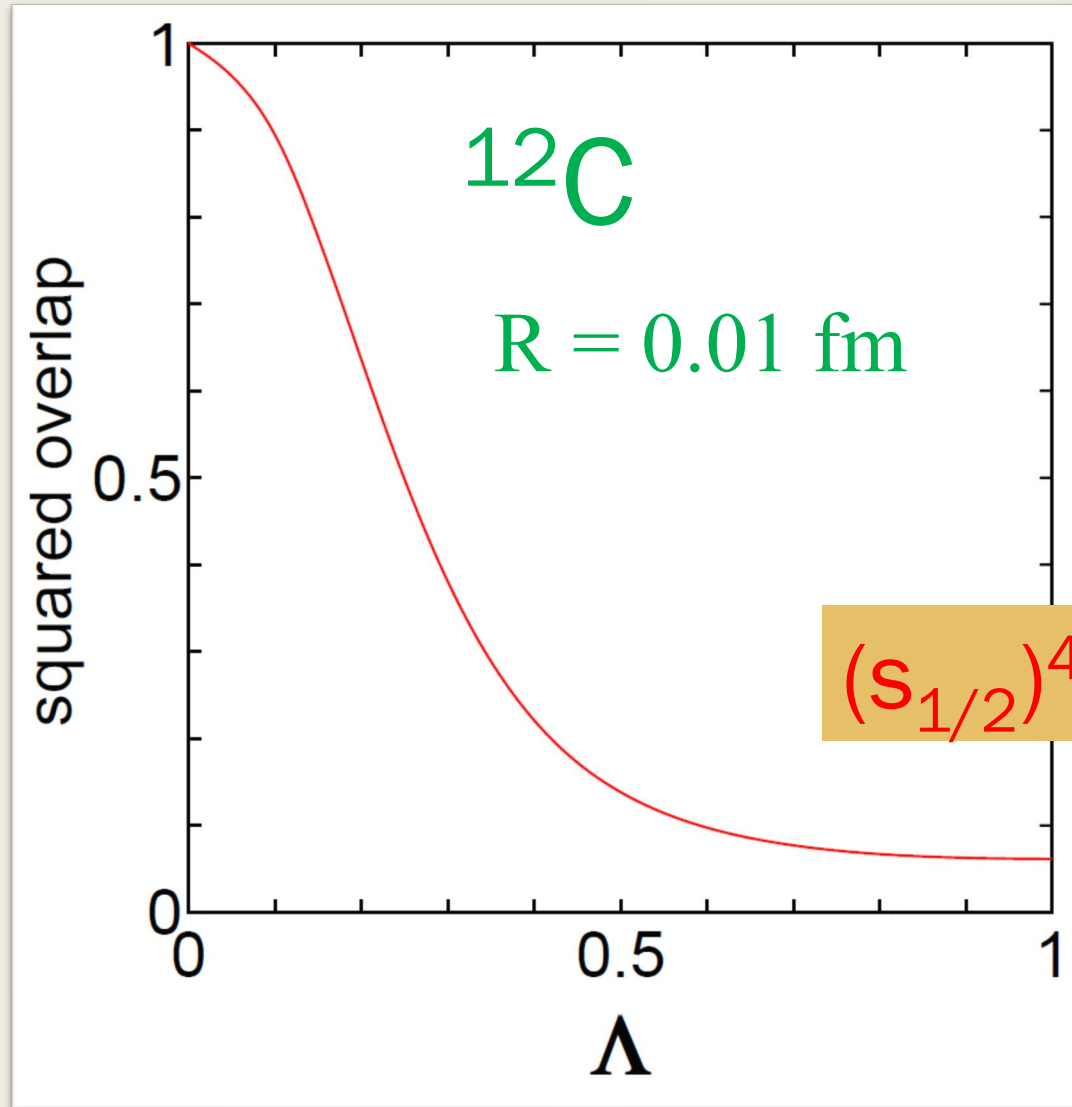


One-body spin-orbit operator

$$\sum_{i=0}^A L_i \cdot S_i$$



^{12}C squared overlap with $\Lambda=0$



Tohsaki interaction

Akihiro Tohsaki, Phys. Rev. C **49**, 1814 (1994)

$$\hat{V}_{central} = \frac{1}{2} \sum_{ij} V_{ij}^{(2)} + \frac{1}{6} \sum_{ijk} V_{ijk}^{(3)},$$

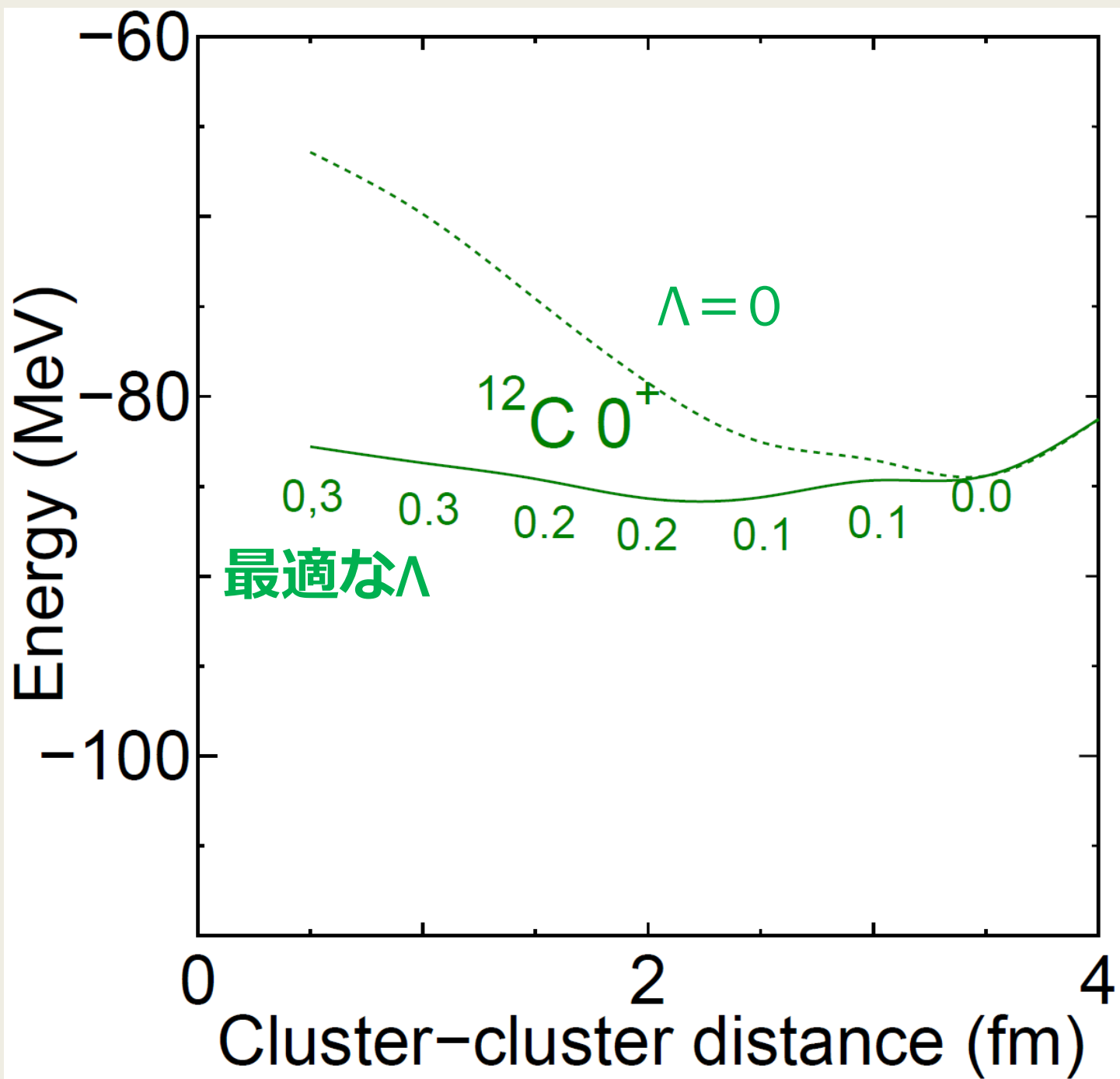
where $V_{ij}^{(2)}$ and $V_{ijk}^{(3)}$ consist of three terms,

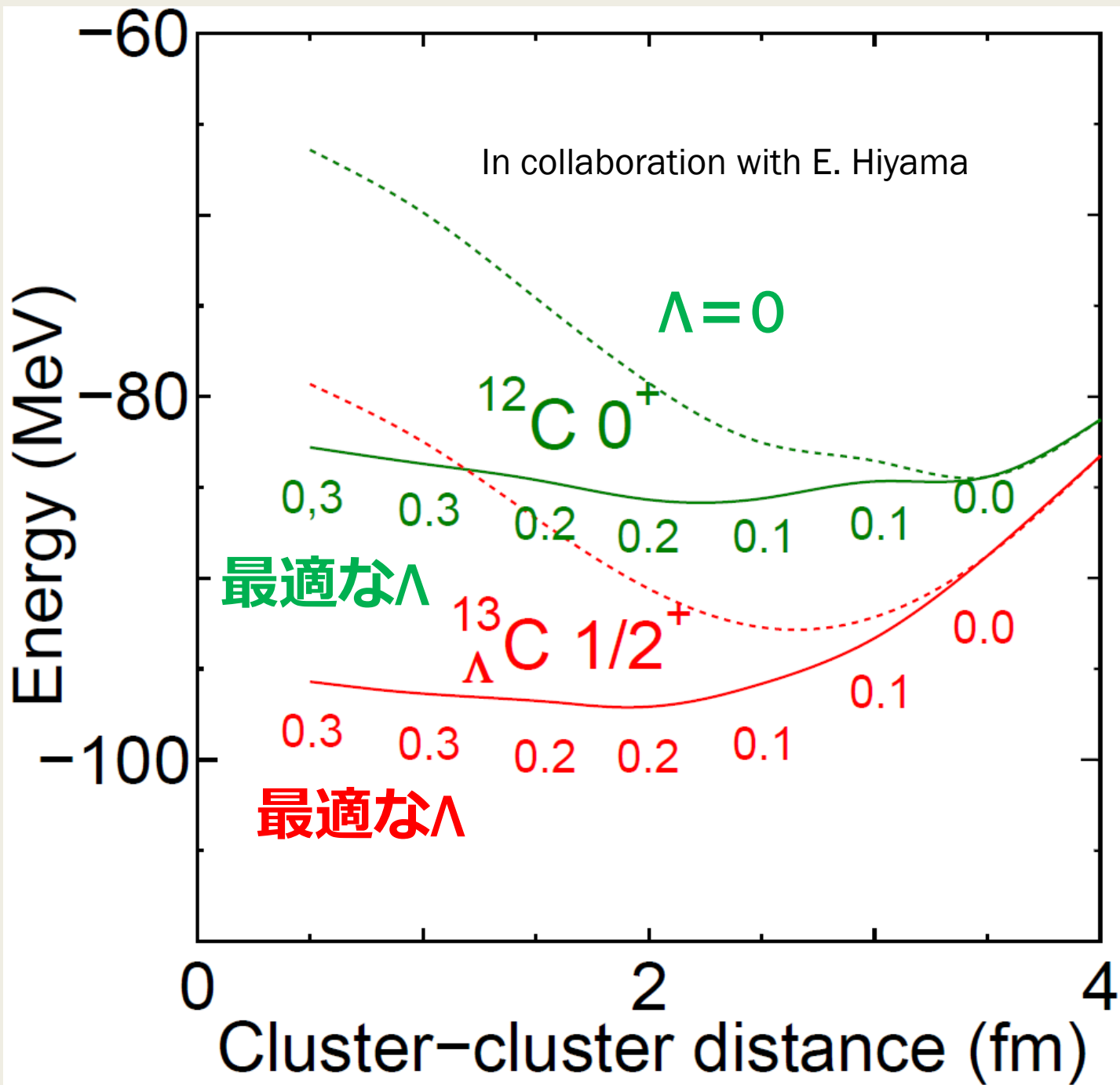
$$V_{ij}^{(2)} = \sum_{\alpha=1}^3 V_{\alpha}^{(2)} \exp[-(\vec{r}_i - \vec{r}_j)^2 / \mu_{\alpha}^2] (W_{\alpha}^{(2)} + M_{\alpha}^{(2)} P^r)_{ij},$$

$$V_{ijk}^{(3)} = \sum_{\alpha=1}^3 V_{\alpha}^{(3)} \exp[-(\vec{r}_i - \vec{r}_j)^2 / \mu_{\alpha}^2 - (\vec{r}_i - \vec{r}_k)^2 / \mu_{\alpha}^2] \\ \times (W_{\alpha}^{(3)} + M_{\alpha}^{(3)} P^r)_{ij} (W_{\alpha}^{(3)} + M_{\alpha}^{(3)} P^r)_{ik}.$$

Spin-orbit interaction

- RealisticなTamagaki potentialを借りてきて、強さを調節する。 ${}^4\text{He}+n$ のphase shiftを合わせるものよりも少し弱めを用いる





After GCM with respect to R

In collaboration with E. Hiyama

	Energy (0^+)	One-body LS
^{12}C $\Lambda = 0$	-86.82	0.00
^{12}C optimal Λ	-90.41	1.86

After GCM with respect to R

In collaboration with E. Hiyama

^{12}C		Energy (0^+)	One-body LS
	$\Lambda = 0$	-86.82	0.00
	optimal Λ	-90.41	1.86
^{13}C Λ		Energy ($1/2^+$)	One-body LS
	$\Lambda = 0$	-93.46	0.00
	optimal Λ	-98.93	2.37

After GCM with respect to R

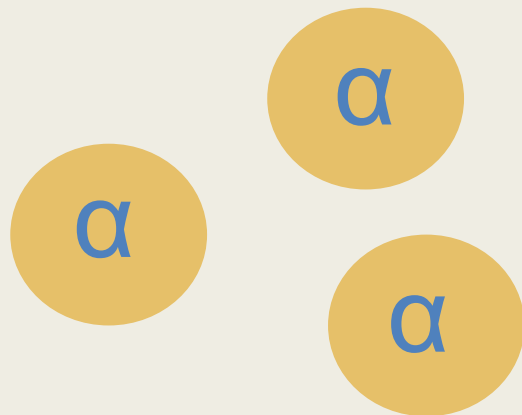
In collaboration with E. Hiyama

^{12}C		Energy (0^+)	One-body LS
	$\Lambda = 0$	-86.82	0.00
	optimal Λ	-90.41	1.86
$^{13}_{\Lambda}\text{C}$		Energy ($1/2^+$)	One-body LS
	$\Lambda = 0$	-93.46	0.00
	optimal Λ	-98.93	2.37
$^{14}_{\Lambda\Lambda}\text{C}$		Energy (0^+)	One-body LS
	$\Lambda = 0$	-103.32	0.00
	optimal Λ	-110.68	2.69

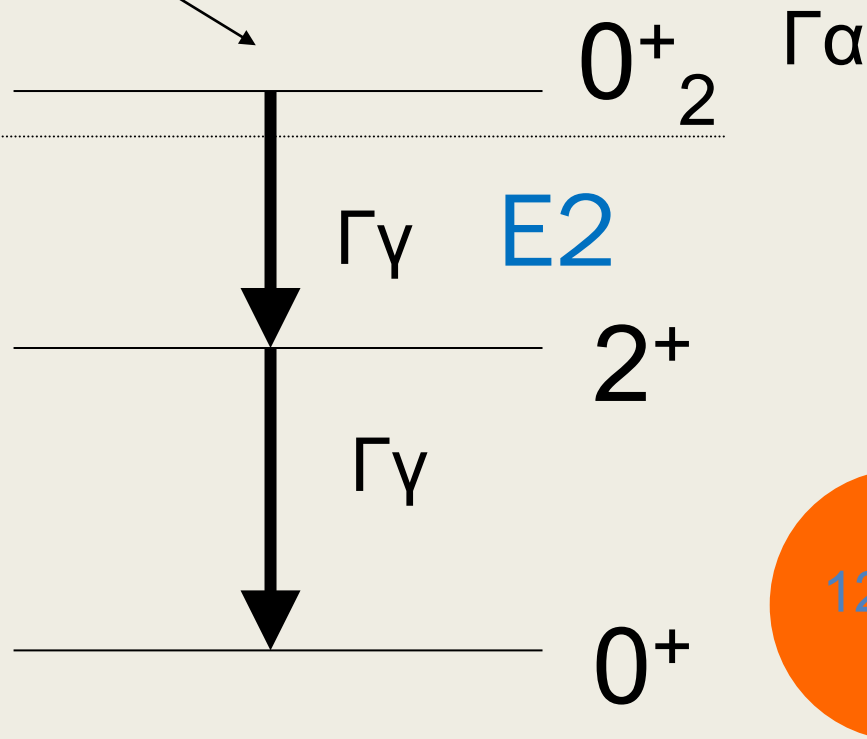
Content

- インTRODクシヨN
- クラスタ-・シエル競合の最近の発展・1
(アイソスピン・ミキシング)
- クラスタ-・シエル競合の最近の発展・2
(医療への応用)

^{12}C の3つの α からの合成 “Hoyle state”



3α threshold



3α構造を持った状態がここにあるべきと理論的に予言され
すぐに実験的に確かめられた



Contents lists available at [ScienceDirect](#)

Physics Letters B

www.elsevier.com/locate/physletb



First experimental determination of the radiative-decay probability of the 3_1^- state in ^{12}C for estimating the triple alpha reaction rate in high temperature environments



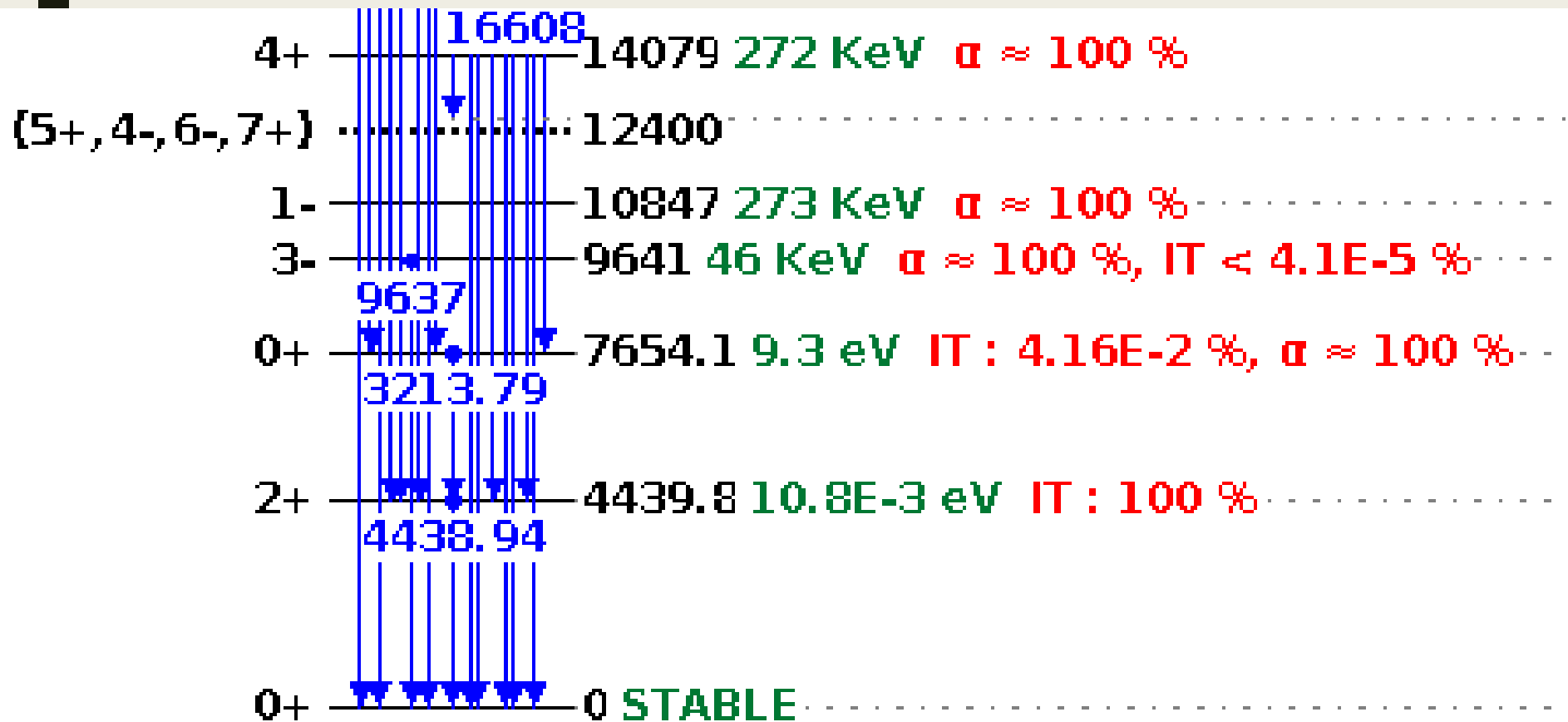
M. Tsumura ^{a,*},¹, T. Kawabata ^b, Y. Takahashi ^a, S. Adachi ^b, H. Akimune ^c, S. Ashikaga ^a, T. Baba ^a, Y. Fujikawa ^a, H. Fujimura ^d, H. Fujioka ^e, T. Furuno ^b, T. Hashimoto ^f, T. Harada ^g, M. Ichikawa ^a, K. Inaba ^a, Y. Ishii ^a, N. Itagaki ^h, M. Itoh ⁱ, C. Iwamoto ^j, N. Kobayashi ^k, A. Koshikawa ^{a,2}, S. Kubono ^{g,1}, Y. Maeda ^m, Y. Matsuda ^{i,3}, S. Matsumoto ^a, K. Miki ⁿ, T. Morimoto ^a, M. Murata ^k, T. Nanamura ^a, I. Ou ^o, S. Sakaguchi ^p, A. Sakaue ^{g,4}, M. Sferrazza ^q, K.N. Suzuki ^a, T. Takeda ^a, A. Tamii ^k, K. Watanabe ^a, Y.N. Watanabe ^r, H.P. Yoshida ^k, J. Zenihiro ^a

M. Tsumura et al. Phys. Lett. B **817** 136283 (2021)

$S_{\alpha} = 7.36659 \text{ MeV}$

$S_p = 15.95668 \text{ MeV}$

^{12}C



0^+_{2} 3^-_{1}

$\Gamma_{\text{rad}}/\Gamma_{\text{tot}}$ (present)	$1.3^{+1.2}_{-1.1} \times 10^{-6}$	$(2.6 \pm 0.7) \times 10^{-2}$
$\Gamma_{\text{rad}}/\Gamma_{\text{tot}}$ (previous) [25]	$< 8.2 \times 10^{-7}$ (95% C.L.)	$(2.21 \pm 0.07) \times 10^{-2}$
Γ_{tot} (eV) [25]	$(46 \pm 3) \times 10^3$	0.40 ± 0.05

M. Tsumura et al. Phys. Lett. B**817** 136283 (2021)

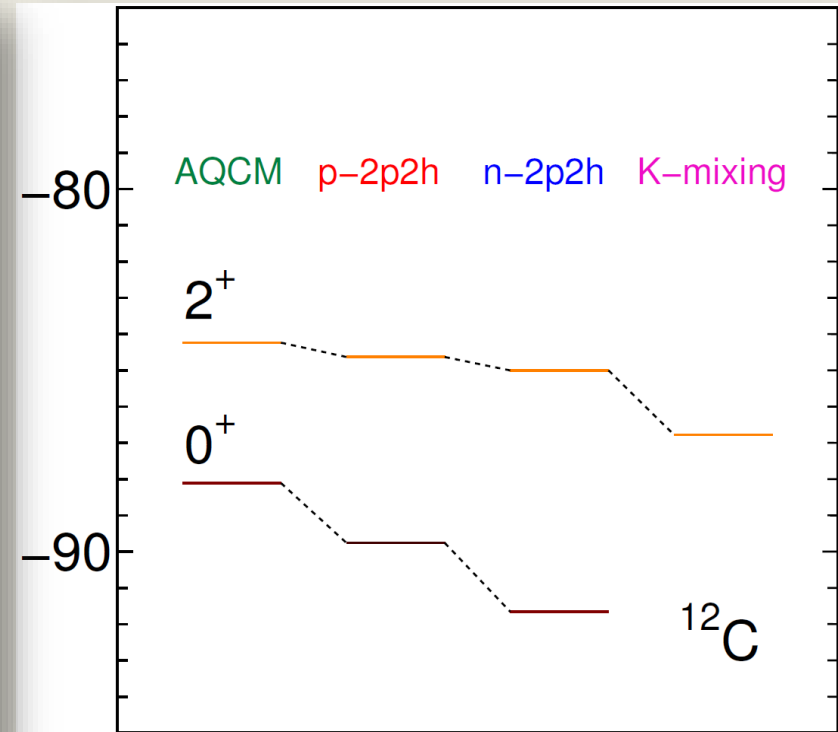
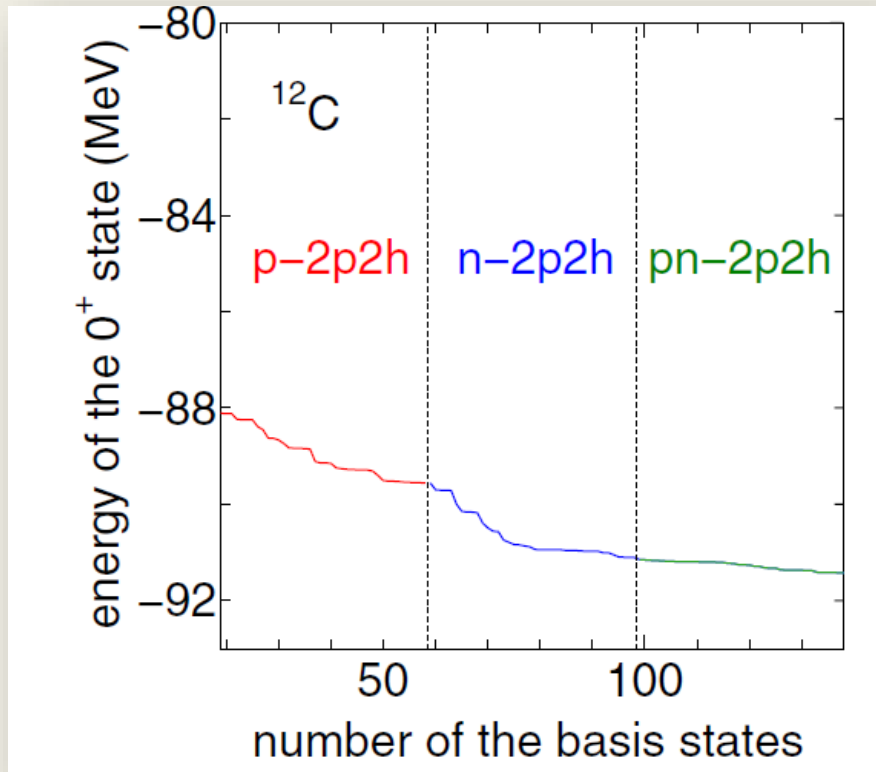
Basic information

- $E_x(2^+) = 4.4398221 \text{ MeV}$
- $E_x(3^-) = 9.6415 \text{ MeV}$
- $B(E\lambda \uparrow) (2J_{\text{ground}} + 1) = B(E\lambda \downarrow) (2J_{\text{ex}} + 1)$
- $\Gamma = 8\pi [(\lambda + 1) / \lambda(2\lambda + 1)!!]^2 [E_\gamma / \hbar c]^{2\lambda + 1} e^2 B(E\lambda \downarrow)$
- $\Gamma (E1, 3^- \rightarrow 2^+) (\text{meV}) =$
 $1.4732 \times 10^5 \times B(E1 \downarrow) (e^2 \text{fm}^2)$

$B(E1 \downarrow)$ が $10^{-4} e^2 \text{fm}^2$ のオーダー以上で必要
(E3は幅にはあまり効かない)

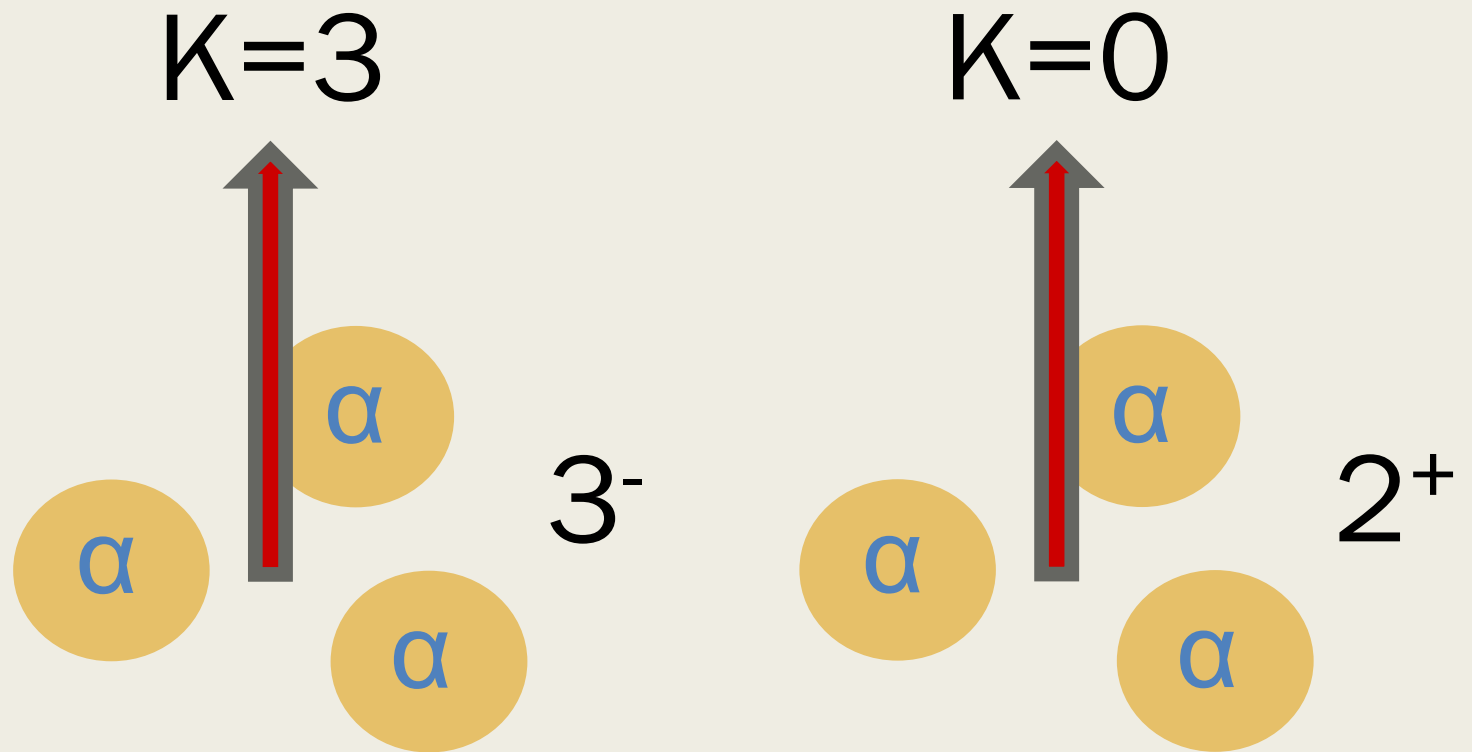
まずはアイソスピンが破れていないといけない

AQCM+2p2h configurations of the shell model

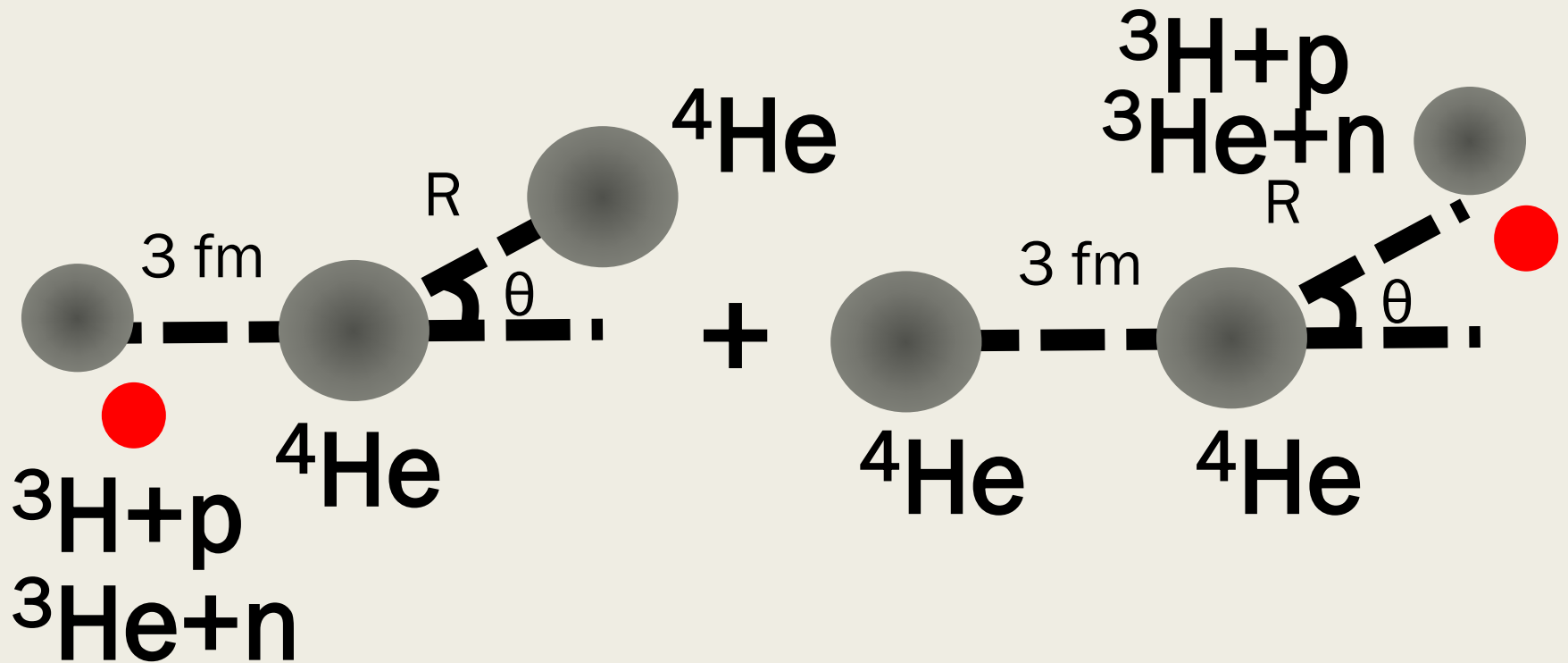


**Small mixing of $T=1$ components ($\sim 10^{-3}$)
due to the Coulomb interaction judging from T^2**

Isospinの混じりの問題に加え、
3-における $K=1$ の混じりも必要！



$^{12}\text{C} = 2\alpha + 3\text{N} + \text{N}$ 模型



Positions of $\text{N} = \text{n}$ or p , 25 states generated using random numbers proportional to $\pm \exp[-r_i^2 / \sigma^2]$, $\sigma = 1\text{ fm}$,
(we use same random numbers for p and n to guarantee the room for isoscalar configurations)

^{12}C B(E1↓)

$S_z=0$

	1	2	3	4	5	6	7	8	9
R (fm)	1	1	1	2	2	2	3	3	3
θ	$\pi/4$	$2\pi/4$	$3\pi/4$	$\pi/4$	$2\pi/4$	$3\pi/4$	$\pi/4$	$2\pi/4$	$3\pi/4$
2^+ (MeV)	-81.1	-84.3	-81.5	-88.3	-89.7	-87.9	-83.3	-86.9	-83.5
3^- (MeV)	-74.2	-74.0	-74.8	-80.5	-80.5	-80.5	-80.0	-80.2	-80.5
B(E1↓) ($e^2\text{fm}^2$)	1.14 $\times 10^{-7}$	4.61 $\times 10^{-7}$	2.85 $\times 10^{-7}$	1.84 $\times 10^{-8}$	1.21 $\times 10^{-7}$	8.99 $\times 10^{-7}$	1.09 $\times 10^{-7}$	1.96 $\times 10^{-6}$	1.45 $\times 10^{-6}$

^{12}C B(E1↓)

$S_z=1$

	1	2	3	4	5	6	7	8	9
R (fm)	1	1	1	2	2	2	3	3	3
θ	$\pi/4$	$2\pi/4$	$3\pi/4$	$\pi/4$	$2\pi/4$	$3\pi/4$	$\pi/4$	$2\pi/4$	$3\pi/4$
2^+ (MeV)	-53.8	-55.3	-54.3	-60.0	-62.0	-58.9	-50.9	-57.0	-52.3
3^- (MeV)	-50.0	-52.0	-51.6	-53.4	-54.5	-54.3	-49.0	-50.4	-51.7
B(E1↓) ($e^2\text{fm}^2$)	5.04 $\times 10^{-3}$	2.43 $\times 10^{-3}$	3.09 $\times 10^{-3}$	7.63 $\times 10^{-5}$	3.17 $\times 10^{-3}$	8.69 $\times 10^{-5}$	2.97 $\times 10^{-4}$	1.81 $\times 10^{-3}$	1.10 $\times 10^{-3}$

Content

- インTRODクシヨN
- クラスタ-・シエル競合の最近の発展・1
(アイソスピン・ミキシング)
- クラスタ-・シエル競合の最近の発展・2
(医療への応用)

SCIENTIFIC REPORTS

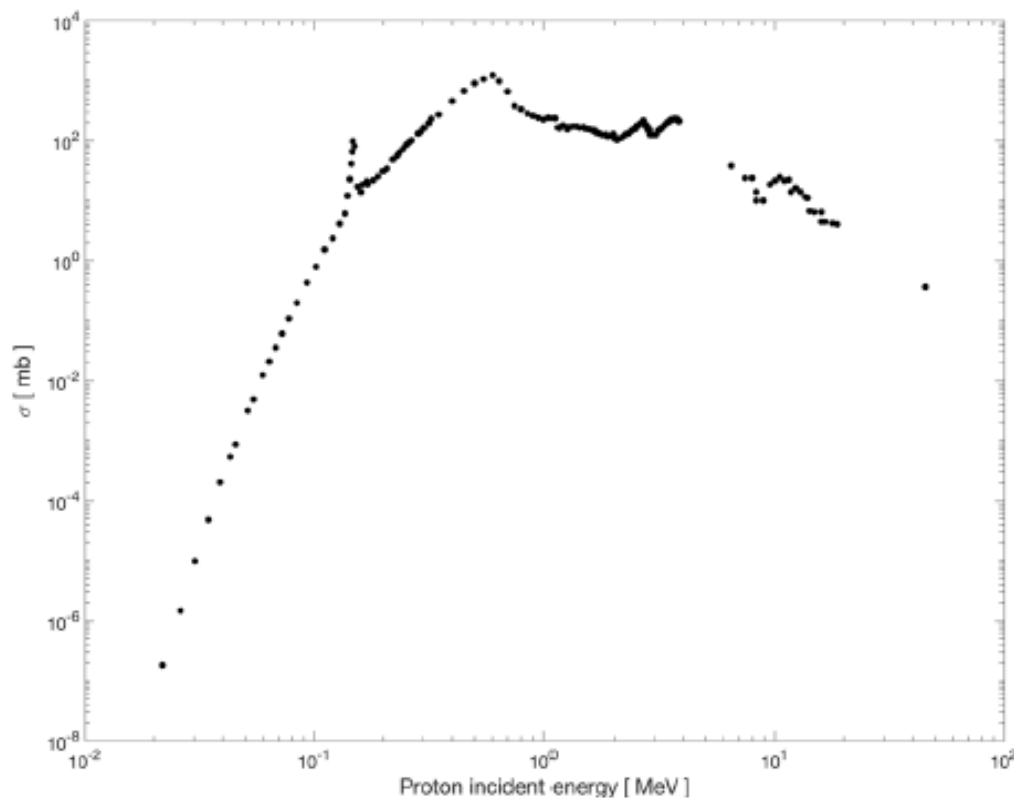
OPEN

First experimental proof of Proton Boron Capture Therapy (PBCT) to enhance protontherapy effectiveness

Received: 26 January 2017
Accepted: 27 December 2017
Published online: 18 January 2018

G. A. P. Cirrone¹, L. Manti^{2,3}, D. Margarone⁴, G. Petringa^{1,5}, L. Giuffrida⁴, A. Minopoli², A. Picciotto⁶, G. Russo^{7,1}, F. Cammarata^{7,1}, P. Pisciotta^{1,5}, F. M. Perozziello^{2,3}, F. Romano^{8,1}, V. Marchese¹, G. Milluzzo^{1,5}, V. Scuderi^{1,4}, G. Cuttone¹ & G. Korn⁴

Protontherapy is hadrontherapy's fastest-growing modality and a pillar in the battle against cancer. Hadrontherapy's superiority lies in its inverted depth-dose profile, hence tumour-confined irradiation. Protons, however, lack distinct radiobiological advantages over photons or electrons. Higher LET (Linear Energy Transfer) ¹²C-ions can overcome cancer radioresistance: DNA lesion complexity increases with LET, resulting in efficient cell killing, i.e. higher Relative Biological Effectiveness (RBE). However, economic and radiobiological issues hamper ¹²C-ion clinical amenability. Thus, enhancing proton RBE is desirable. To this end, we exploited the $p + {}^{11}\text{B} \rightarrow 3\alpha$ reaction to generate high-LET alpha particles with a clinical proton beam. To maximize the reaction rate, we used sodium borocaptate (BSH) with natural boron content. Boron-Neutron Capture Therapy (BNCT) uses ¹⁰B-enriched BSH for neutron irradiation-triggered alpha particles. We recorded significantly increased cellular lethality and chromosome aberration complexity. A strategy combining protontherapy's ballistic precision with the higher RBE promised by BNCT and ¹²C-ion therapy is thus demonstrated.



p + ^{11}B で
 ^{12}C の $E_x = 16$ MeV
領域を作り、
そこからの α 崩壊で
がん細胞を破壊

Figure 8. Experimental cross sections. Proton- ^{11}B total reaction cross section for the most probable α_1 channel decay (from EXFOR database).

12C

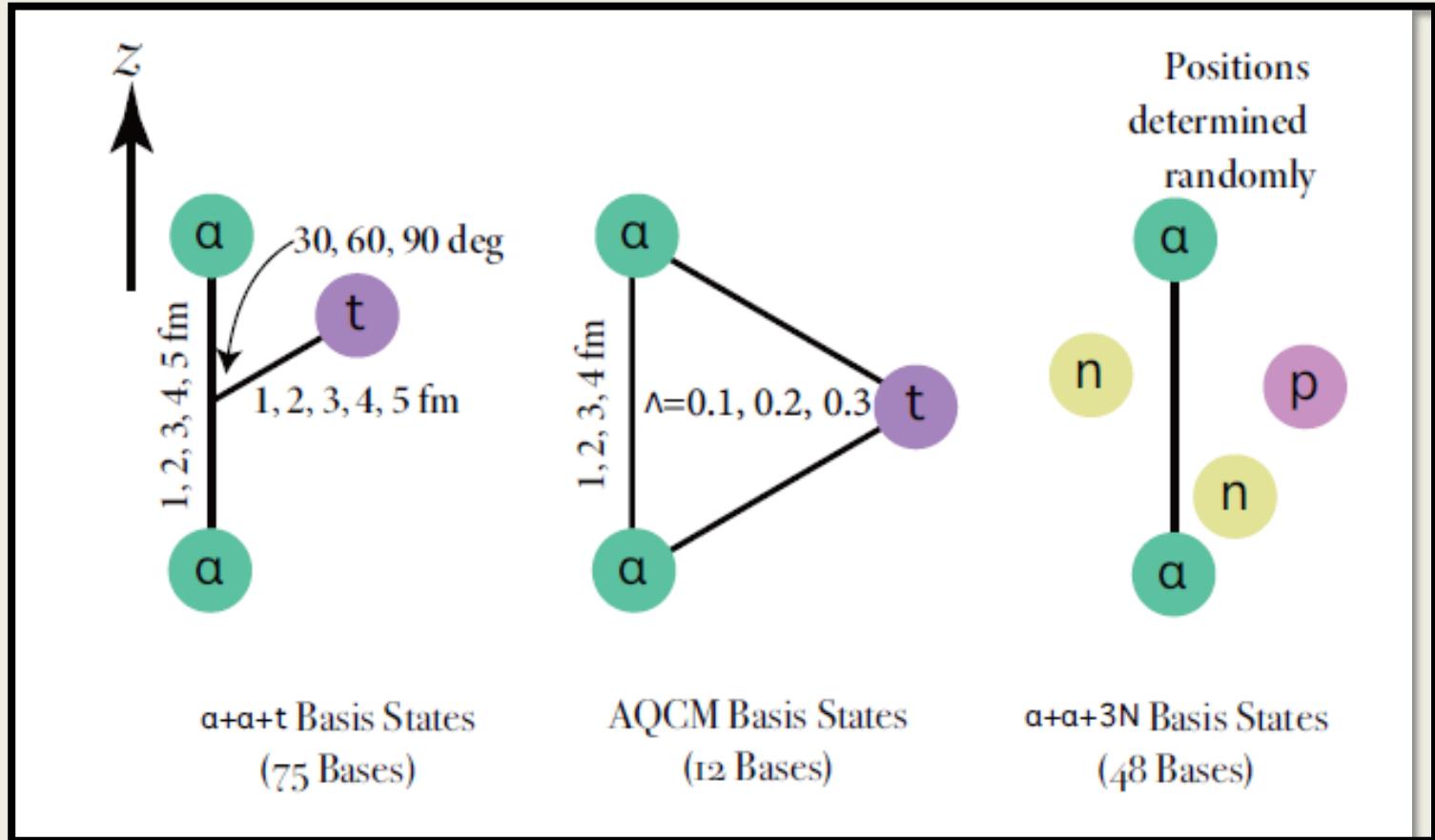
$S_{\alpha} = 7.36659 \text{ MeV}$

$S_p = 15.95668 \text{ MeV}$

14079 5	4+	272 keV 6 & $\alpha \approx 100$
15110 3	1+	43.6 eV 10 & IT = 95.9 & $\alpha = 4.1$
15440 40	(2+)	1.77 MeV 20 & $\alpha \approx 100$
16106.0 8	2+	5.3 keV 2 & IT = 0.27 & $p = 0.41$ & $\alpha = 99.3$

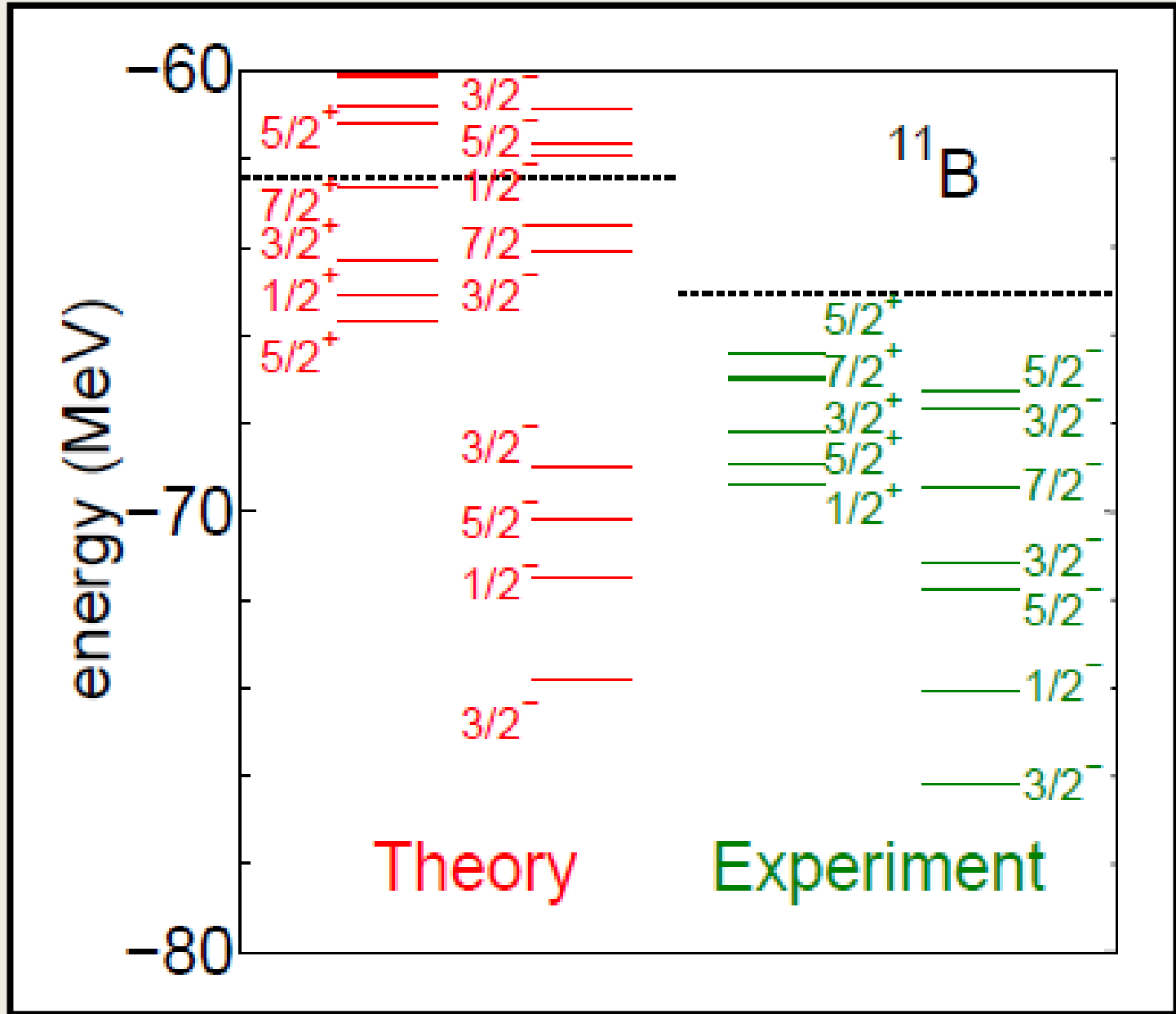
核構造としての興味

「 ^{11}B の基底状態で $\alpha+\alpha+t$ クラスターは融け残っており、 3α の種となり得るか？」



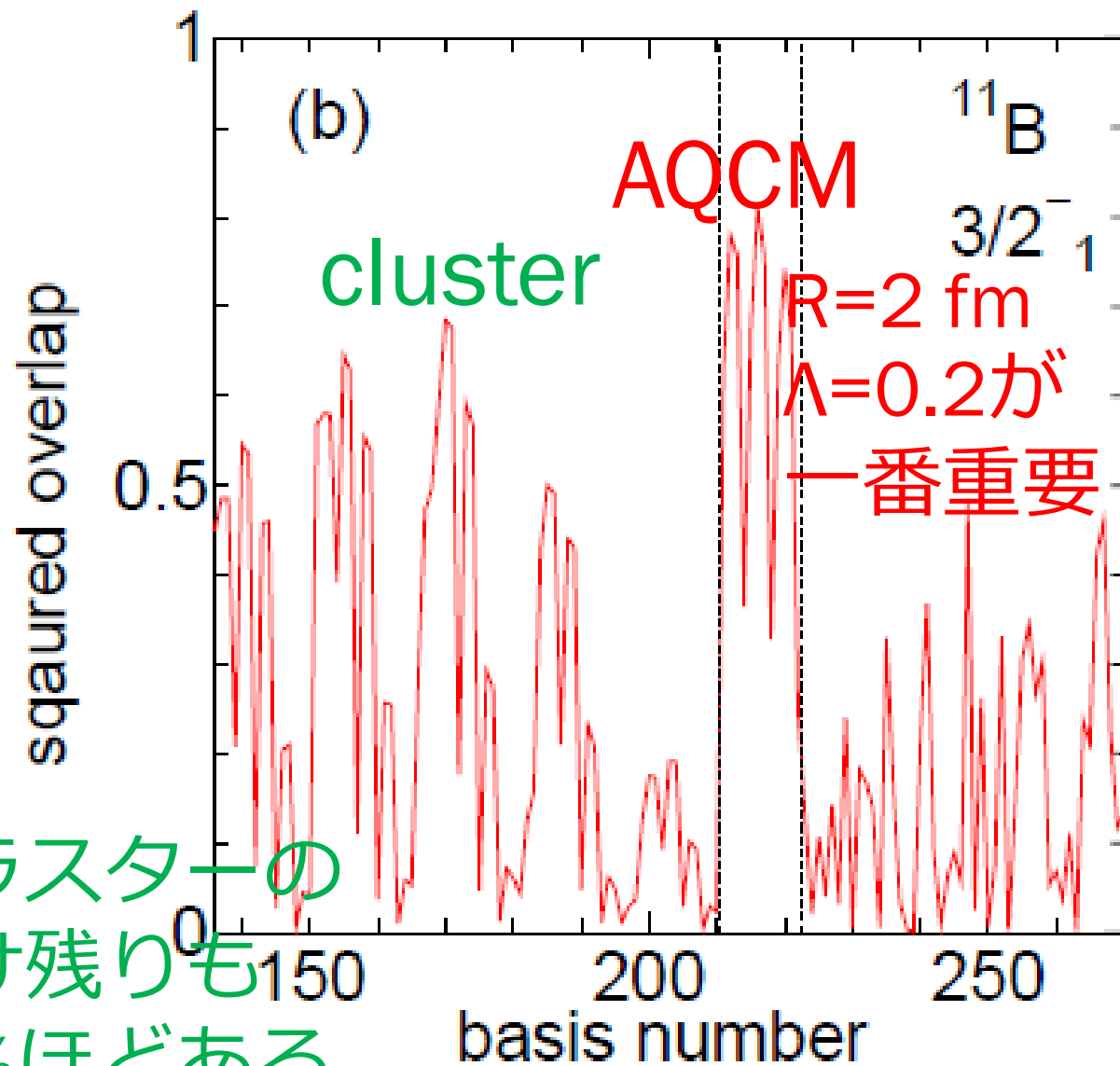
Naoyuki Itagaki, Tomoya Naito, Yuichi Hirata

<https://arxiv.org/abs/2109.09957>



Naoyuki Itagaki, Tomoya Naito, Yuichi Hirata

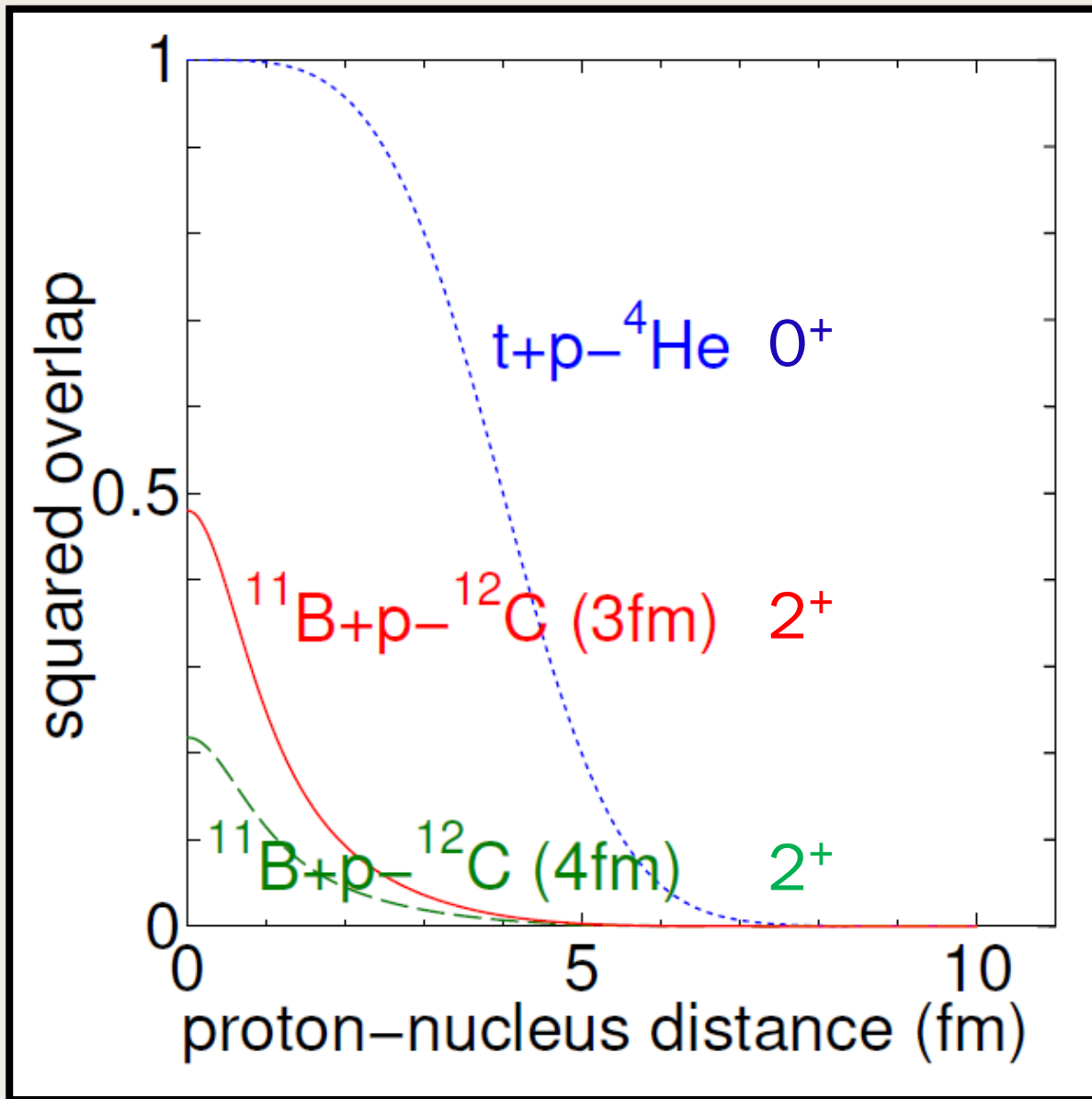
<https://arxiv.org/abs/2109.09957>



クラスタの
融け残りも
70%ほどある。

Naoyuki Itagaki, Tomoya Naito, Yuichi Hirata

<https://arxiv.org/abs/2109.09957>



Naoyuki Itagaki, Tomoya Naito, Yuichi Hirata

<https://arxiv.org/abs/2109.09957>

まとめ

- AQCМを用いて、クラスター模型の波動関数を jj-coupling shell model に変換できる。
- ^{12}C の基底状態は、 3α が微妙に融けた状態である。
- 炭素では、付与する Λ 粒子の数と共に、クラスター・シェル競合した状態から「jj シェル・ドミナント化」が起る。
- jj-coupling shell model の励起配位を混ぜ合わせることに より、isospin mixing と微小 E1 遷移の効果を議論可能 になりつつある。
- ^{11}B のクラスター構造は医療への応用が期待されており、 クラスターの成分が 70% 程度融け残っていることが確認 される。

Back up slides

Cluster-shell competition in light nuclei

N. Itagaki*

Department of Physics, University of Tokyo, Hongo Tokyo 113-0033, Japan

S. Aoyama

Integrated Information Processing Center, Niigata University, 950-2181 Niigata, Japan

S. Okabe

Information Initiative Center, Hokkaido University, 060-0811 Sapporo, Japan

K. Ikeda

The Institute of Physical and Chemical Research (RIKEN), 351-0098 Wako, Japan

(Received 12 July 2004; published 5 November 2004)

We demonstrate whether the cluster structure dissolves or remains when the shell-model-like model space is introduced in addition to the cluster model space in light nuclei. Although the binding energies of ^8Be , ^{10}Be , and ^{10}B become larger by about 1–2 MeV by adding shell-model-like basis states to the $\alpha + \alpha + N + N + \dots$ basis states, the α - α structure is a dominant configuration of the ground states. However, α -breaking wave functions strongly mix in ^{12}C , and the decrease of the energy from the 3α configuration by about 6 MeV is a clue to resolving a long-standing problem of the binding energies of ^{12}C and ^{16}O . The improved version of antisymmetrized molecular dynamics (AMD), AMD superposition of selected snapshots (AMD triple-S), is used to show the cluster-shell competition of these nuclei.

N. Itagaki, S. Aoyama, K. Ikeda, and S. Okabe
Phys. Rev. C 70 054307 (2004)

^{12}C

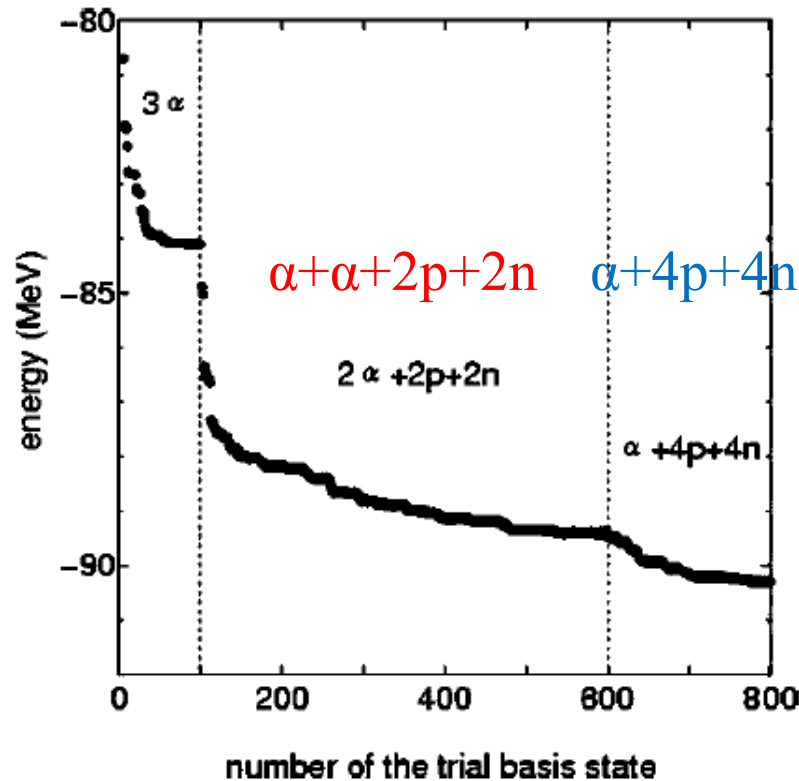
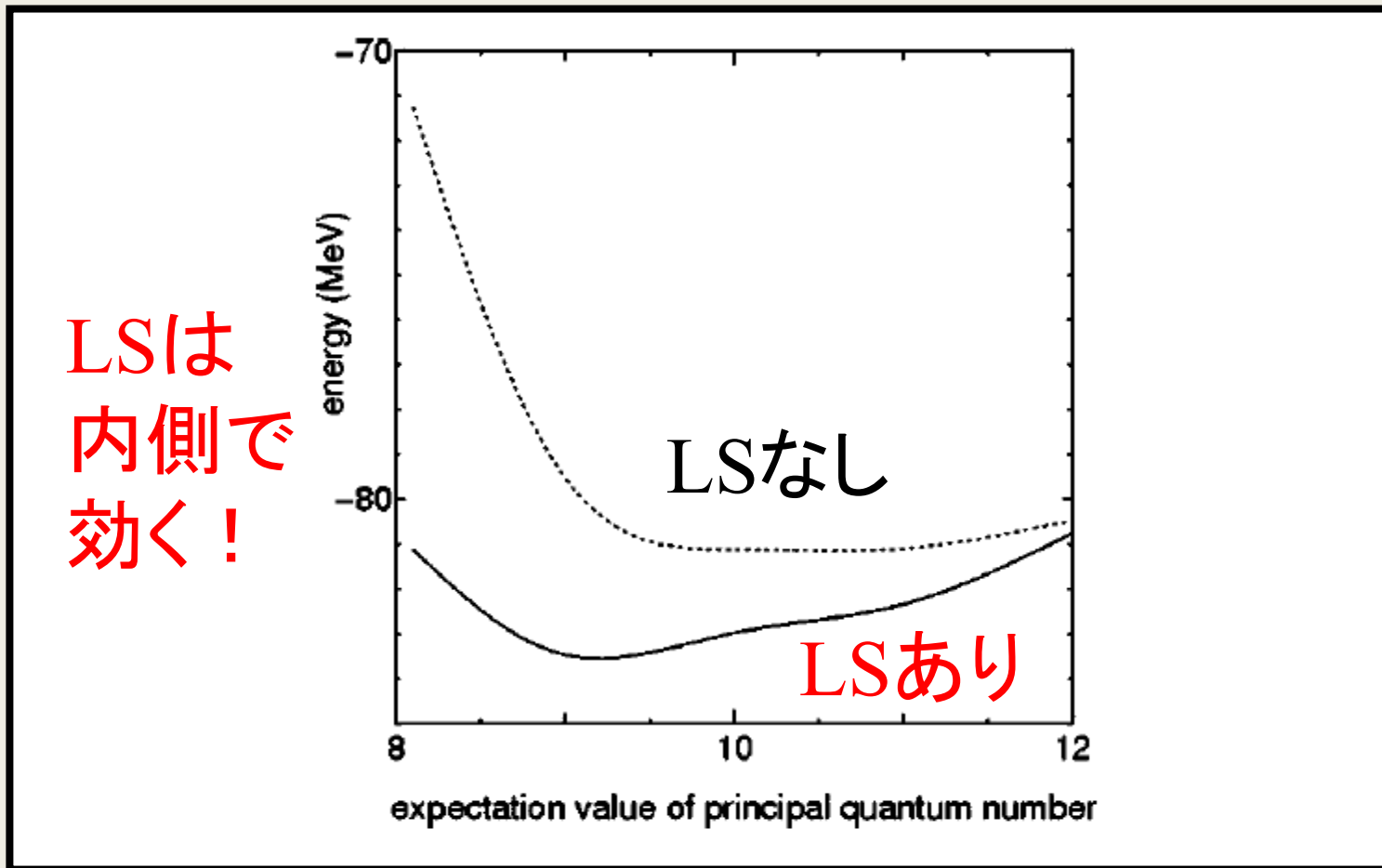


FIG. 6. The energy convergence of ^{12}C (0^+) with respect to the number of trial AMD basis states. The basis states from 1 to 100 are those of the 3α model space, and those from 101 to 600 are $\alpha + \alpha + 2p + 2n$ model space with relative α - α distances of 2, 3, and 4 fm. After 601, the wave functions with the shell-model-like $\alpha + 4p + 4n$ model space are added.

N. Itagaki, S. Aoyama, K. Ikeda, and S. Okabe
Phys. Rev. C 70 054307 (2004)

^{12}C (3α を崩したものの)

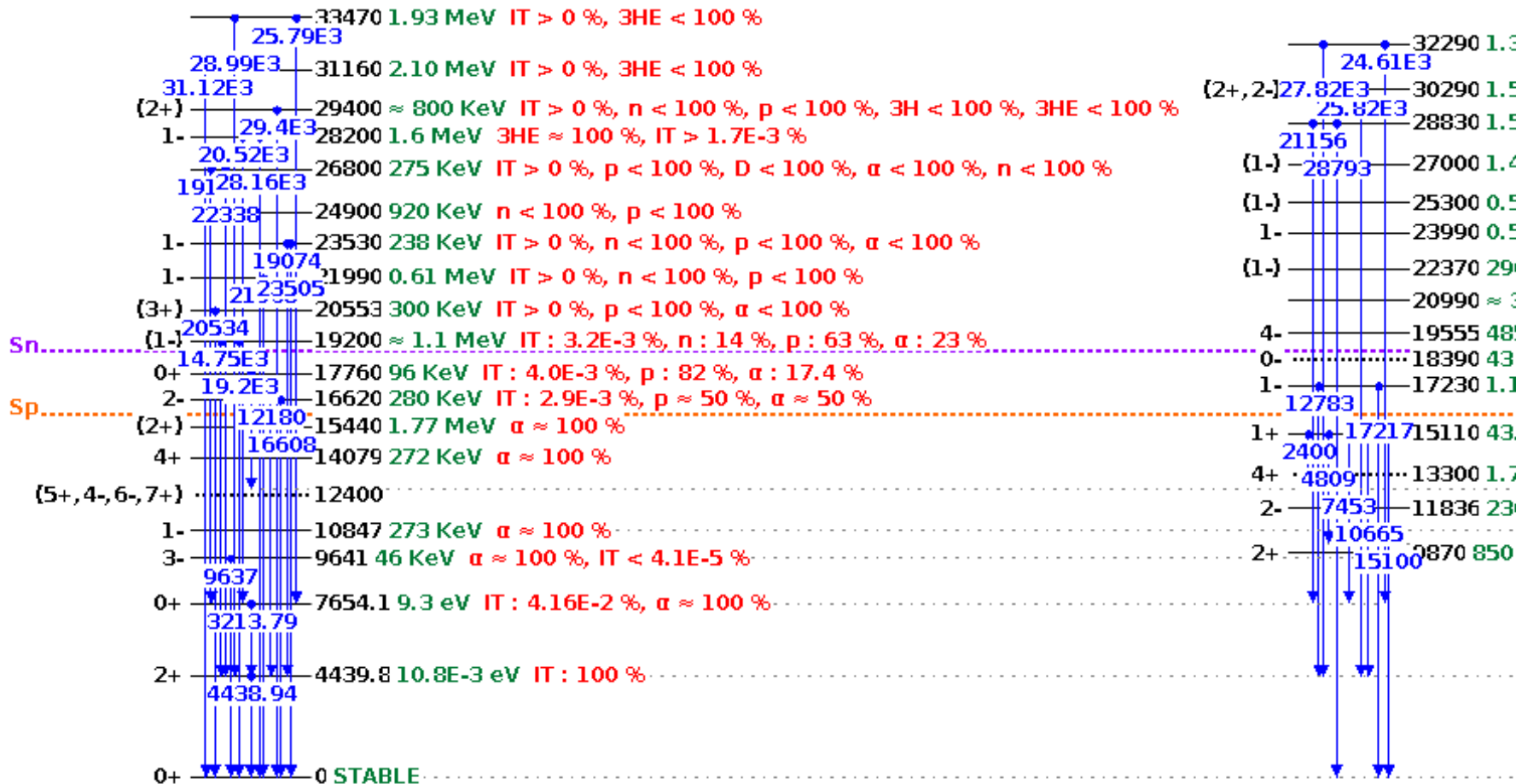


主量子数 n

N. Itagaki, S. Aoyama, K. Ikeda, and S. Okabe
Phys. Rev. C 70 054307 (2004)

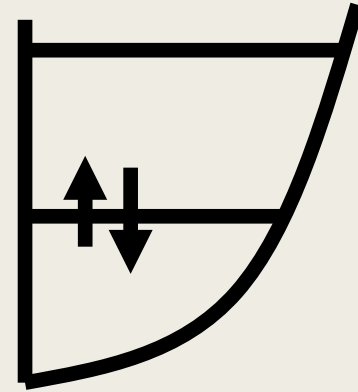
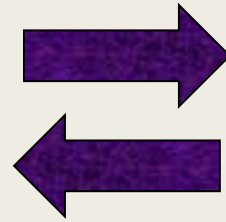
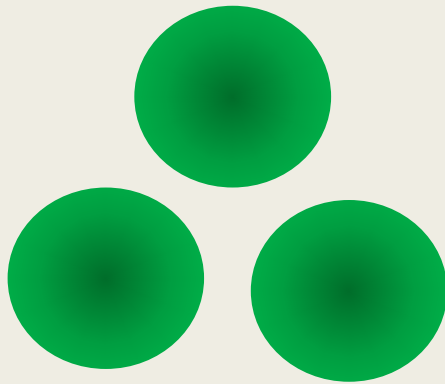
$$Q(\alpha) = -7366.59 \text{ keV}$$

12C

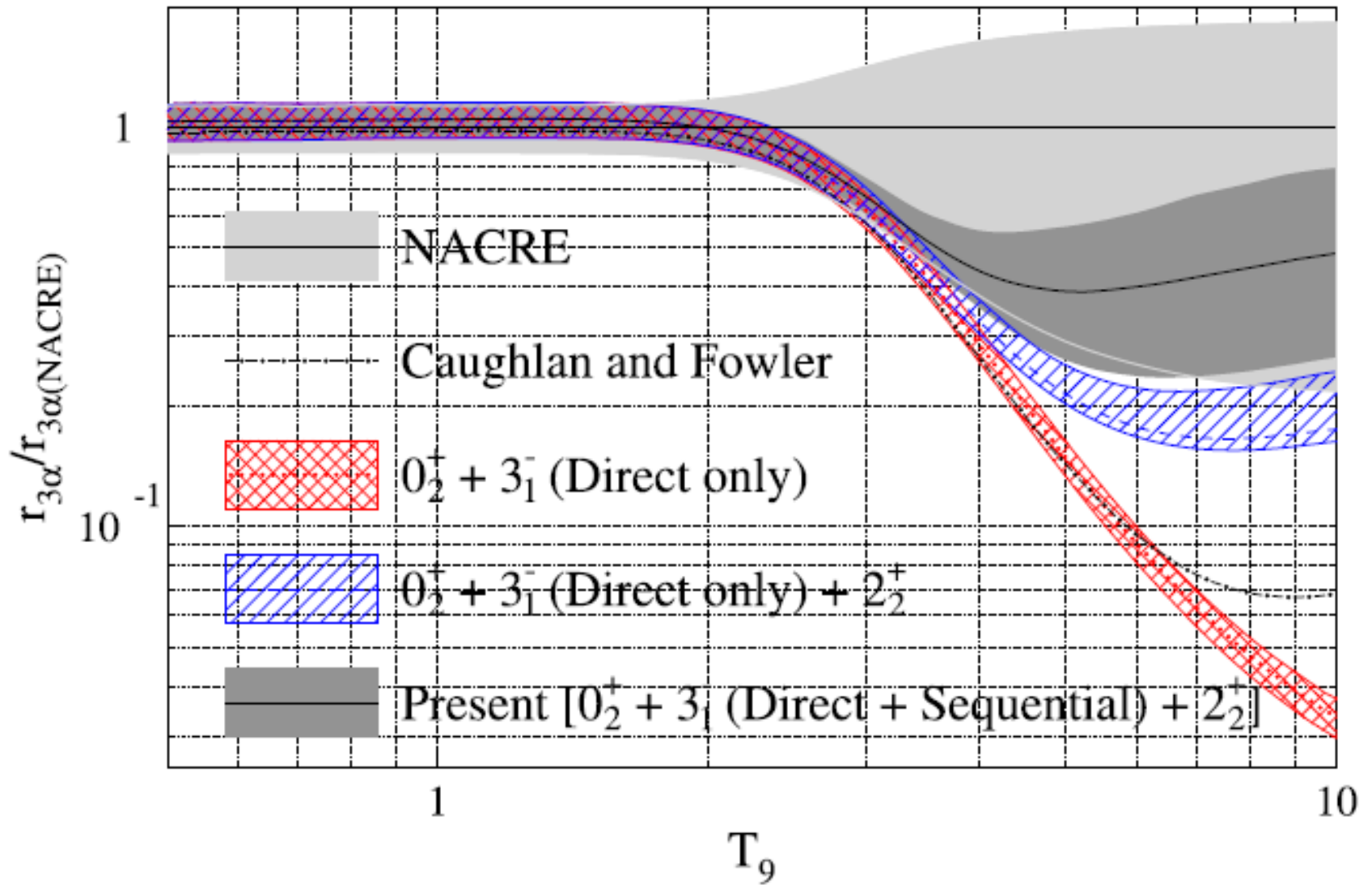


Cluster side

Shell model side



*From "Competition"
To "Confluence"*



M. Tsumura et al. Phys. Lett. B817 136283 (2021)